

ВОЗДЕЙСТВИЕ НА НЕЛИНЕЙНОЕ СОПРОТИВЛЕНИЕ БОЛЬШИХ СИНУСОИДАЛЬНЫХ КОЛЕБАНИЙ

§ 8.1. Вводные замечания

В этой и последующих главах рассматриваются процессы, происходящие в схемах с нелинейными сопротивлениями при наличии в них больших синусоидальных колебаний. К таким процессам относятся: генерирование синусоидальных колебаний и усиление их при больших амплитудах, модуляция, умножение и преобразование частоты, детектирование.

Рассмотрение процессов будем вести широко распространенным методом, который назовем *методом первой гармоники*.

При анализе процессов этим методом пренебрегают в первом приближении высшими гармониками напряжения, действующего на нелинейное сопротивление, считая его синусоидальным. После нахождения приближенного решения последнее иногда уточняют, учитывая гармоники.

§ 8.2. Воздействие синусоидального напряжения на нелинейное сопротивление (общий случай)

Рассмотрим ток, протекающий через нелинейное сопротивление с вольтамперной характеристикой $i = f(u)$, если к этому сопротивлению приложено напряжение

$$u = U_0 + U_m \cos(\omega_0 t + \varphi) = U_0 + U_m \cos \alpha, \quad (8.1)$$

где ω_0 — постоянная величина, t — время.

Остальные величины, входящие в это уравнение, могут быть как постоянными, так и переменными.

Выражение (8.1) охватывает все виды модулированных колебаний.

Условимся называть:

U_0 — нулевой составляющей,

$U_m \cos \alpha$ — первой гармоникой напряжения,

U_m — амплитудой,

$\alpha = \omega_0 t + \varphi$ — фазой,

$\frac{d\alpha}{dt} = \omega_0 + \frac{d\varphi}{dt}$ — угловой частотой,
 φ — сдвигом фаз первой гармоники.

Величина u может быть как напряжением, действующим на нелинейное сопротивление (например, анодным напряжением при постоянном напряжении на сетке), так и некоторым управляющим параметром (например, напряжением на сетке многоэлектродной лампы при постоянных напряжениях на остальных электродах).

Примем вначале, что величины U_0 , U_m и α не зависят друг от друга и от времени.

Поскольку при заданных U_0 и U_m напряжение u является периодической функцией величины α , ток $i = f(u)$ также будет периодической функцией α и может быть представлен рядом Фурье:

$$i = f(u) = f(U_0 + U_m \cos \alpha) = \frac{A_0}{2} + \sum_{k=1}^{\infty} A_k \cos k\alpha + \sum_{k=1}^{\infty} B_k \sin k\alpha. \quad (8.2)$$

Величина u и, следовательно, левая часть этого равенства не меняют своего значения при изменении знака α .

То же должно быть и с правой частью равенства. Поэтому всегда должно выполняться условие:

$$\sum_{k=1}^{\infty} B_k \sin k\alpha = 0.$$

Значения A_0 , A_1 , A_2 , A_3 и т. д. могут быть найдены из формулы:

$$A_k = \frac{1}{\pi} \int_{-\pi}^{\pi} f(U_0 + U_m \cos \alpha) \cos k\alpha \, d\alpha. \quad (8.3)$$

При отыскании этого интеграла следует считать величины U_0 и U_m *независимыми* от α , т. е. *постоянными*.

Из выражения (8.3) видно, что величины A_0 , A_1 , ..., A_k , ... не зависят от α и зависят лишь от U_0 , U_m , k и характеристики нелинейного сопротивления.

Введя новые обозначения: $F_0(U_0, U_m) = A_0$, $F_k(U_0, U_m) = A_k$, перепишем ф-лу (8.2):

$$i = f(U_0 + U_m \cos \alpha) = \frac{1}{2} F_0(U_0, U_m) + F_1(U_0, U_m) \cos \alpha + F_2(U_0, U_m) \cos 2\alpha + \dots + F_k(U_0, U_m) \cos k\alpha + \dots, \quad (8.4a)$$

где

$$F_k(U_0, U_m) = \frac{1}{\pi} \int_{-\pi}^{\pi} f(U_0 + U_m \cos \alpha) \cos k\alpha \, d\alpha. \quad (8.4б)$$

Равенство (8.4a) справедливо при *любых* значениях U_0 , U_m и α и остается справедливым, когда эти величины *любым* образом

меняются во времени. Однако, как отмечалось при вычислении интеграла (8.4б), нужно считать, что U_0 и U_m не зависят от α , т. е. постоянны.

Нулевой член правой части равенства (8.4а) назовем *нулевой составляющей* тока, первый — *первой гармоникой* тока, второй — *второй гармоникой* и т. д. Нулевая составляющая $\frac{1}{2} F_0(U_0, U_m)$ и амплитуды гармоник $F_k(U_0, U_m)$ зависят только от U_0, U_m и характеристики.

Если U_0 и U_m меняются во времени, то нулевая составляющая и амплитуды гармоник могут быть переменными; если U_0 и U_m постоянны (например, при ЧМ), то постоянны $\frac{1}{2} F_0(U_0, U_m)$ и $F_k(U_0, U_m)$.

Фаза и частота первой гармоники тока соответственно равны фазе α и частоте $\frac{d\alpha}{dt}$ первой гармоники подведенного напряжения, фаза и частота k -й гармоники тока соответственно равны $k\alpha$ и $k\frac{d\alpha}{dt}$, т. е. в k раз больше фазы и частоты первой гармоники напряжения.

Нулевая составляющая и амплитуды гармоник тока могут быть найдены по ф-ле (8.4б), если представить (аппроксимировать) вольтамперную характеристику нелинейного сопротивления таким аналитическим выражением, которое позволит вычислить интеграл (8.4б).

§ 8.3. Аппроксимация характеристик ломаной прямой

Вольтамперные характеристики ряда нелинейных сопротивлений могут быть аппроксимированы ломаной прямой (рис. 8.1). Отметим, что при использовании лишь начального участка характеристики OA , например, при малых переменных напряжениях, эта аппроксимация может приводить к большим ошибкам.

Если вольтамперная характеристика аппроксимируется ломаной прямой, то аналитически ток выражается следующим образом:

$$i = 0 \quad \text{при} \quad u \leq U_n,$$

$$i = S(u - U_n) \quad \text{при} \quad u > U_n.$$

Здесь S — крутизна наклонной прямой части характеристики, U_n — напряжение, при котором начинается ток, т. е. происходит излом характеристики.

На рис. 8.2а изображена вольтамперная характеристика нелинейного сопротивления, аппроксимированная ломаной прямой: на рис. 8.2б — зависимость напряжения $u = U_0 + U_m \cos \alpha$ от α и на рис. 8.2в — зависимость тока $i = f(u)$ от α , построенная на основании рис. 8.2а и 8.2б.

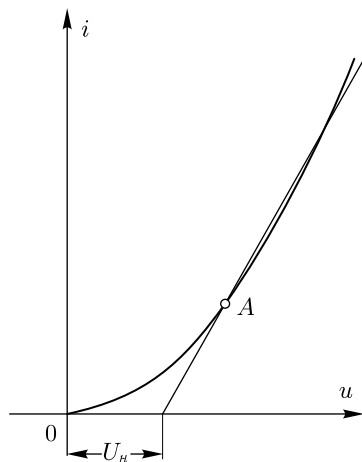


Рис. 8.1

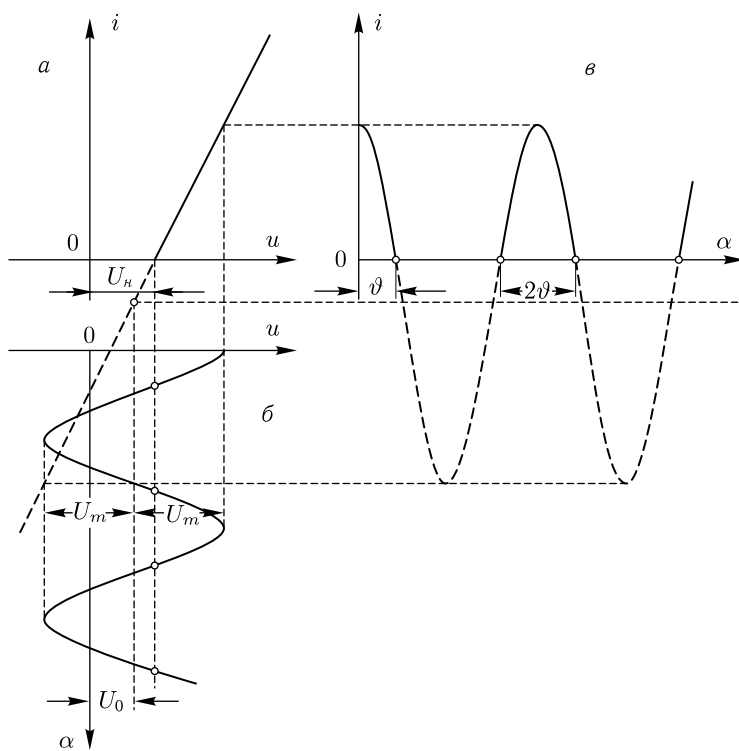


Рис. 8.2

Ток i выражается уравнениями:

$$\begin{aligned} i &= 0 \quad \text{при} \quad u \leq U_n, \\ i &= S(U_0 + U_m \cos \alpha - U_n) \quad \text{при} \quad u > U_n. \end{aligned}$$

Переход от одного уравнения к другому происходит при значениях α , определяемых из равенства:

$$u = U_0 + U_m \cos \alpha = U_n. \quad (8.5)$$

Назовем углом отсечки тока или просто углом отсечки ϑ половину той части периода, выраженной в угловой мере, в течение которой через нелинейное сопротивление протекает ток. Угол отсечки может быть найден на основании равенства (8.5) из следующего уравнения:

$$\cos \vartheta = \frac{U_n - U_0}{U_m}. \quad (8.6)$$

Нулевая составляющая тока равна:

$$\begin{aligned} \frac{1}{2} F_0(U_0, U_m) &= \frac{1}{2\pi} \int_{-\pi}^{+\pi} f(u) d\alpha = \frac{1}{2\pi} \int_{-\vartheta}^{+\vartheta} S(u - U_n) d\alpha = \\ &= \frac{1}{2\pi} \int_{-\vartheta}^{+\vartheta} S(U_0 + U_m \cos \alpha - U_n) d\alpha = \frac{1}{2\pi} \int_{-\vartheta}^{+\vartheta} S(U_0 - U_n) d\alpha + \\ &\quad + \frac{1}{2\pi} \int_{-\vartheta}^{+\vartheta} S U_m \cos \alpha d\alpha = \frac{S}{\pi} (U_0 - U_n) \vartheta + \frac{S U_m}{\pi} \sin \vartheta. \end{aligned}$$

Замена пределов интегрирования $-\pi, +\pi$ на $-\vartheta, +\vartheta$ произведена здесь потому, что в интервалах $(-\pi, -\vartheta)$ и $(+\vartheta, +\pi)$ функция $f(u) = 0$. Подставляя вместо $(U_0 - U_n)$ его значение из ф-лы (8.6):

$$U_0 - U_n = -U_m \cos \vartheta,$$

получим

$$\frac{1}{2} F_0(U_0, U_m) = \frac{S U_m}{\pi} (\sin \vartheta - \vartheta \cos \vartheta). \quad (8.7)$$

Таким образом, если заданы величины U_0, U_m и характеристика нелинейного сопротивления, т. е. U_n и S , то сначала по ф-ле (8.6) находят $\cos \vartheta$ и ϑ , а затем из выражения (8.7) — нулевую составляющую тока $\frac{1}{2} F_0(U_0, U_m)$.

Часто в ф-лу (8.7) вместо U_m подставляют максимальное значение тока I_m , равное

$$I_m = S(U_0 + U_m - U_n) = S U_m (1 - \cos \vartheta). \quad (8.8)$$

Тогда

$$SU_m = \frac{I_m}{1 - \cos \vartheta}$$

и

$$\frac{1}{2} F_0(U_0, U_m) = \frac{I_m}{\pi} \cdot \frac{\sin \vartheta - \vartheta \cos \vartheta}{1 - \cos \vartheta}. \quad (8.9)$$

Аналогичным способом могут быть найдены амплитуды гармоник тока, которые оказываются разными:

$$F_1(U_0, U_m) = \frac{SU'_m}{\pi} (\vartheta - \sin \vartheta \cos \vartheta) = \frac{I_m}{\pi} \cdot \frac{\vartheta - \sin \vartheta \cos \vartheta}{1 - \cos \vartheta}, \quad (8.10)$$

$$\begin{aligned} F_k(U_0, U_m) &= \frac{2SU_m}{\pi} \cdot \frac{\sin k\vartheta \cos \vartheta - k \cos k\vartheta \sin \vartheta}{k(k^2 - 1)} = \\ &= \frac{2I_m}{\pi} \cdot \frac{\sin k\vartheta \cos \vartheta - k \cos k\vartheta \sin \vartheta}{k(k^2 - 1)(1 - \cos \vartheta)}. \end{aligned} \quad (8.11)$$

На рис. 8.3 изображены зависимости:

$$\begin{aligned} \alpha_0 &= \frac{\frac{1}{2} F_0(U_0, U_m)}{I_m}, & \alpha_1 &= \frac{F_1(U_0, U_m)}{I_m}, \\ \alpha_2 &= \frac{F_2(U_0, U_m)}{I_m} & \text{и} & \quad \alpha_3 = \frac{F_3(U_0, U_m)}{I_m}. \end{aligned}$$

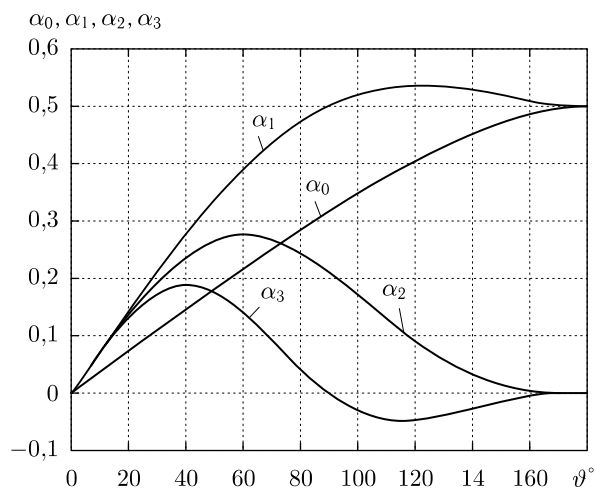


Рис. 8.3

Эти зависимости называются функциями академика А.И. Берга, который ввел их в радиотехнику.

На рис. 8.4 изображены зависимости:

$$\gamma_0 = \frac{\frac{1}{2} F_0(U_0, U_m)}{SU_m} \quad \text{и} \quad \gamma_k = \frac{F_k(U_0, U_m)}{SU_m}$$

при $k = 1, 2$ и 3 .

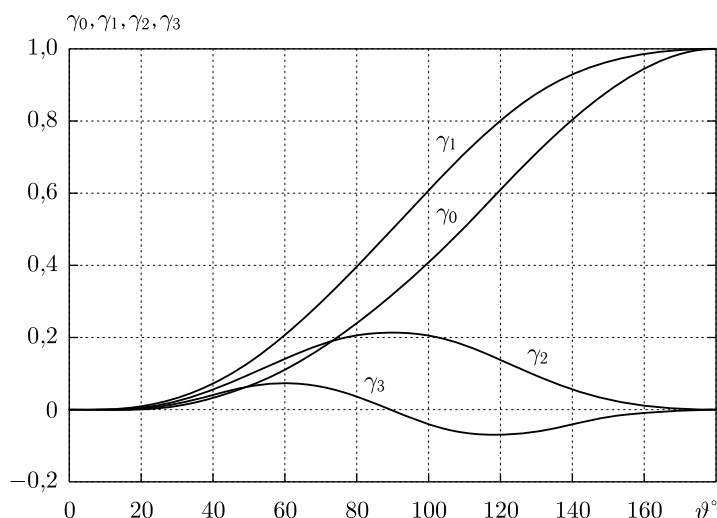


Рис. 8.4

Иногда характеристику аппроксимируют ломаной прямой не с одним, как это было рассмотрено выше, а с большим количеством изломов. Этот случай мы рассматривать не будем.

Пример 8.1

На сетку лампы с характеристикой $i_a = f(u_c)$, аппроксимированной ломаной прямой, подается напряжение:

$$u_c = U_0 + U_m \cos(\omega_0 t + \varphi) = -10 + 8 \cos(\omega_0 t + \varphi) \text{ В.}$$

Уравнение характеристики:

$$i_a = 0 \quad \text{при} \quad u_c \leq U_n = -6 \text{ В.}$$

$$i_a = S(u_c - U_n) \quad \text{при} \quad u_c > U_n; \quad S = 5 \text{ мА/В.}$$

Найти максимальное значение, нулевую составляющую и амплитуду первой гармоники анодного тока.

Решение

1. По ф-ле (8.6) определяем угол отсечки анодного тока:

$$\cos \vartheta = \frac{U_n - U_0}{U_m} = \frac{-6 - (-10)}{8} = 0,5,$$

откуда $\vartheta = 60^\circ$.

2. По ф-ле (8.8) находим максимальное значение анодного тока:

$$I_m = SU_m(1 - \cos \vartheta) = 5 \cdot 8(1 - 0,5) = 20 \text{ мА.}$$

3. По ф-лам (8.7) и (8.10) определяем нулевую составляющую и амплитуду первой гармоники:

$$\begin{aligned} I_{a0} &= \frac{1}{2} F_0(U_0, U_m) = \frac{SU_m}{\pi} (\sin \vartheta - \vartheta \cos \vartheta) = \\ &= \frac{5 \cdot 8}{3,14} (0,866 - 1,05 \cdot 0,5) = 4,4 \text{ мА}, \\ I_{a1} &= F_1(U_0, U_m) = \frac{SU_m}{\pi} (\vartheta - \sin \vartheta \cos \vartheta) = \frac{5 \cdot 8}{3,14} (1,05 - 0,866 \cdot 0,5) = 7,8 \text{ мА}. \end{aligned}$$

С другой стороны, I_{a0} и I_{a1} могут быть определены с помощью рис. 8.3:

$$\begin{aligned} I_{a0} &= \alpha_0 I_m = 0,22 \cdot 20 = 4,4 \text{ мА}, \\ I_{a1} &= \alpha_1 I_m = 0,39 \cdot 20 = 7,8 \text{ мА}, \end{aligned}$$

либо с помощью рис. 8.4:

$$\begin{aligned} I_{a0} &= \gamma_0 S U_m = 0,11 \cdot 5 \cdot 8 = 4,4 \text{ мА}, \\ I_{a1} &= \gamma_1 S U_m = 0,195 \cdot 5 \cdot 8 = 7,8 \text{ мА}. \end{aligned}$$

§ 8.4. Аппроксимация характеристик нелинейных сопротивлений степенным рядом

Способ аппроксимации вольтамперной характеристики с помощью степенного ряда, к изложению которого мы переходим, особенно удобен при *малых колебаниях*, хотя пригоден и для больших.

Разложим характеристику нелинейного сопротивления в ряд Тейлора относительно значения $u = U_0$:

$$\begin{aligned} i = f(u) &= a_0 + a_1(u - U_0) + a_2(u - U_0)^2 + \\ &+ a_3(u - U_0)^3 + \dots + a_k(u - U_0)^k + \dots, \end{aligned} \quad (8.12)$$

где

$$a_0 = f(U_0); \quad a_k = \frac{f^{(k)}(U_0)}{k!};$$

$f^{(k)}(U_0)$ — k -я производная функции $f(u)$ для значения $u = U_0$.

Подставляя в ряд (8.12) значение $u = U_0 + U_m \cos \alpha$, получим

$$i = f(u) = a_0 + a_1 U_m \cos \alpha + a_2 U_m^2 \cos^2 \alpha + a_3 U_m^3 \cos^3 \alpha + \dots \quad (8.13)$$

Поскольку

$$\begin{aligned} \cos^2 \alpha &= \frac{1}{2} + \frac{1}{2} \cos 2\alpha, \\ \cos^3 \alpha &= \frac{3}{4} \cos \alpha + \frac{1}{4} \cos 3\alpha, \\ \cos^4 \alpha &= \frac{3}{8} + \frac{1}{2} \cos 2\alpha + \frac{1}{8} \cos 4\alpha \end{aligned}$$

Если характеристика задана графически, то ее можно представить степенным рядом с $n + 1$ членами, причем полученный ряд будет совпадать с характеристикой в $(n + 1)$ -й точке. Для этого нужно составить $n + 1$ уравнение:

$$\left. \begin{aligned} i_1 &= a_0 + a_1(u_1 - U_0) + a_2(u_1 - U_0)^2 + \dots + a_n(u_1 - U_0)^n \\ i_2 &= a_0 + a_1(u_2 - U_0) + a_2(u_2 - U_0)^2 + \dots + a_n(u_2 - U_0)^n \\ &\dots\dots\dots \\ i_{n+1} &= a_0 + a_1(u_{n+1} - U_0) + a_2(u_{n+1} - U_0)^2 + \dots + a_n(u_{n+1} - U_0)^n \end{aligned} \right\} \quad (8.19)$$

Здесь i_1, i_2, \dots, i_{n+1} — значения токов при напряжениях, соответственно равных u_1, u_2, \dots, u_{n+1} .

Решая систему уравнений (8.19), находим a_0, a_1, \dots, a_n . Решения этих уравнений для двух частных случаев даны в приложении 2.

Величины $1/2 F_0(U_0, U_m), F_1(U_0, U_m), F_2(U_0, U_m)$ могут быть приближенно определены графически. Ток, протекающий через нелинейное сопротивление при максимальном значении напряжения $U_0 + U_m$, в соответствии с (8.1) и (8.12) (рис. 8.5) равен

$$i_1 = f(U_0 + U_m) = a_0 + a_1 U_m + a_2 U_m^2 + a_3 U_m^3 + a_4 U_m^4 + \dots$$

Ток при минимальном значении напряжения равен

$$i_2 = f(U_0 - U_m) = a_0 - a_1 U_m + a_2 U_m^2 - a_3 U_m^3 + a_4 U_m^4 - \dots$$

Из этих формул следует, что

$$\frac{t_1 - t_2}{2} = a_1 U_m + a_3 U_m^3 + a_5 U_m^5 + \dots$$

Сравнивая полученное выражение с ф-лой (8.16), мы видим, что

$$F_1(U_0, U_m) \approx \frac{t_1 - t_2}{2}. \quad (8.20)$$

Это равенство будет точным, если характеристика является квадратичной параболой, и приближенным, если в разложении имеются члены a_3, a_5, a_7 и т. д.

Ток при среднем значении напряжения u равен

$$i_{cp} = f(U_0) = a_0.$$

Нетрудно показать что

$$\frac{1}{2} \left(\frac{i_1 + i_2}{2} - i_{cp} \right) = \frac{1}{2} a_2 U_m^2 + \frac{1}{2} a_4 U_m^4 + \dots \quad (8.21)$$

Сравнивая это равенство с (8.17), мы видим, что

$$F_2(U_0, U_m) \approx \frac{1}{2} \left(\frac{i_1 + i_2}{2} - i_{cp} \right). \quad (8.22)$$

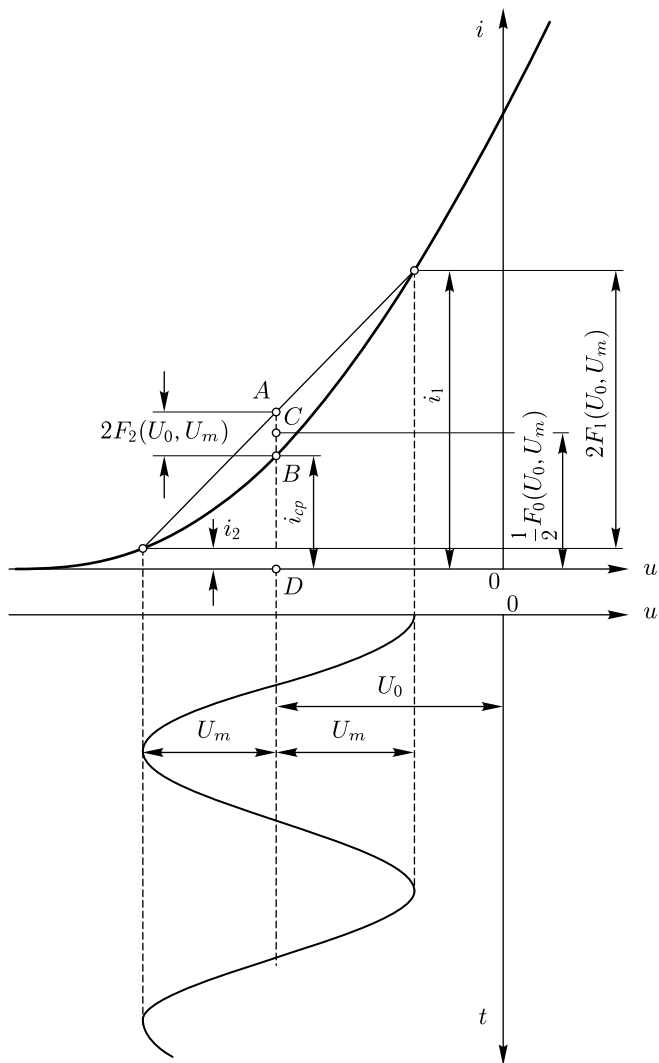


Рис. 8.5

Прибавляя к правой и левой частям равенства (8.21) величину $a_0 = i_{cp}$ и сравнивая результат с ф-лой (8.15), получим:

$$\frac{1}{2} F_0(U_0, U_m) \approx \frac{1}{2} \left(\frac{i_1 + i_2}{2} - i_{cp} \right) + i_{cp}. \quad (8.23)$$

Величины $\frac{1}{2} F_0(U_0, U_m)$, $F_1(U_0, U_m)$ и $F_2(U_0, U_m)$ могут быть легко найдены в соответствии с ф-лами (8.20), (8.22) и (8.23) графически, как это показано на рис. 8.5. В справедливости этого легко убедиться,

если учесть, что

$$BD = i_{cp}, \quad AD = \frac{i_1 + i_2}{2},$$

$$AB = 2CB = \frac{i_1 + i_2}{2} - i_{cp}, \quad CD = \frac{1}{2} \left(\frac{i_1 + i_2}{2} - i_{cp} \right) + i_{cp}.$$

Пример 8.2

На сетку лампы с характеристикой $i_a = f(u_c)$, аппроксимированной степенным рядом, подается напряжение:

$$u_c = U_0 + U_m \cos \omega_0 t = -3 + 2 \cos \omega_0 t \text{ В.}$$

Уравнение характеристики:

$$i_a = f(u_c) = b_0 + b_1 u_c + b_2 u_c^2,$$

где $b_0 = 5 \text{ мА}$, $b_1 = 2 \text{ мА/В}$, $b_2 = 0,2 \text{ мА/В}^2$.

Найти нулевую составляющую, амплитуды первой и второй гармоник анодного тока.

Решение

1. Находим коэффициенты a_k разложения (8.12):

$$a_0 = f(U_0) = b_0 + b_1 U_0 + b_2 U_0^2 = 5 - 2 \cdot 3 + 0,2 \cdot 9 = 0,8 \text{ мА},$$

$$a_1 = \frac{f'(U_0)}{1!} = b_1 + 2b_2 U_0 = 2 - 2 \cdot 0,2 \cdot 3 = 0,8 \text{ мА/В},$$

$$a_2 = \frac{f''(U_0)}{2!} = b_2 = 0,2 \text{ мА/В}^2,$$

$$a_3 = a_4 = \dots = 0.$$

2. По ф-лам (8.15), (8.16), (8.17) определяем нулевую составляющую и амплитуды первой и второй гармоник:

$$I_{a0} = \frac{1}{2} F_0(U_0, U_m) = a_0 + \frac{1}{2} a_2 U_m^2 = 0,8 + 0,5 \cdot 0,2 \cdot 2^2 = 1,2 \text{ мА},$$

$$I_{a1} = F_1(U_0, U_m) = a_1 U_m = 0,8 \cdot 2 = 1,6 \text{ мА},$$

$$I_{a2} = F_2(U_0, U_m) = \frac{1}{2} a_2 U_m^2 = 0,5 \cdot 0,2 \cdot 2^2 = 0,4 \text{ мА}.$$

§ 8.5. Аппроксимация характеристик нелинейных сопротивлений показательной функцией

Вольтамперные характеристики сеточного тока многоэлектродных ламп и тока диодов при отрицательных и малых положительных напряжениях хорошо аппроксимируются выражением:

$$i = i_0 e^{au}, \tag{8.24}$$

где i_0 — ток, протекающий через нелинейное сопротивление при $u = 0$ (рис. 8.6), a — коэффициент, зависящий от температуры катода. Для ламп с оксидным катодом $a = (8 \div 10) \text{ 1/В}$.

Найдем нулевую составляющую и амплитуды гармоник тока, предположив, что u по-прежнему равно

$$u = U_0 + U_m \cos \alpha.$$

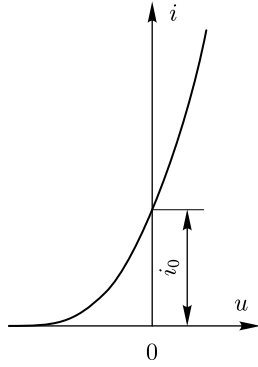


Рис. 8.6

Тогда

$$i = f(u) = i_0 e^{a(U+U_m \cos \alpha)} = i_0 e^{aU_0} e^{aU_m \cos \alpha}.$$

Определить величины $1/2 F_0(U_0, U_m), \dots, F_k(U_0, U_m)$ можно путем отыскания интегралов (8.46), однако проще поступить иначе.

Из теории функций Бесселя¹⁾ известно, что

$$e^{im \sin x} = \sum_{n=-\infty}^{+\infty} J_n(m) e^{inx},$$

где $J_n(m)$ — функция Бесселя n -го порядка. Если положить

$$m = iaU_m, \\ x = \alpha - \frac{\pi}{2},$$

то

$$e^{im \sin x} = e^{aU_m \cos \alpha} = \sum_{n=-\infty}^{+\infty} J_n(iaU_m) \cdot e^{in\alpha} e^{-in\frac{\pi}{2}} = \\ = \sum_{n=-\infty}^{+\infty} J_n(iaU_m) e^{in\alpha} i^{-n},$$

так как

$$e^{-in\frac{\pi}{2}} = (e^{i\frac{\pi}{2}})^{-n} = i^{-n}.$$

Функция Бесселя от мнимого аргумента обозначается так:

$$J_n(iy) \cdot i^{-n} = I_n(y),$$

причем

$$I_{-n}(y) = I_n(y).$$

Тогда

$$e^{aU_m \cos \alpha} = \sum_{n=-\infty}^{+\infty} I_n(aU_m) e^{in\alpha} = I_0(aU_m) + \\ + I_1(aU_m)(e^{i\alpha} + e^{-i\alpha}) + I_2(aU_m)(e^{i2\alpha} + e^{-i2\alpha}) + \dots = \\ = I_0(aU_m) + 2I_1(aU_m) \cos \alpha + 2I_2(aU_m) \cos 2\alpha + \dots$$

¹⁾ См. Кузьмин Р. О. «Бесселевы функции», ОНТИ, 1935 г., стр. 120, а также первую часть курса, стр. 206.

Окончательно получаем:

$$i = i_0 e^{au} = i_0 e^{aU_0} \left[I_0(aU_m) + 2 \sum_{k=1}^{\infty} I_k(aU_m) \cos k\alpha \right]. \quad (8.25)$$

Из сравнения выражения (8.25) с рядом (8.4а) видно, что

$$F_k(U_0, U_m) = 2i_0 e^{aU_0} I_k(aU_m). \quad (8.26)$$

Величины $I_k(aU_m)$ приводятся в таблицах, имеющих в математических справочниках. Эти величины могут быть найдены также из рис. 8.7.

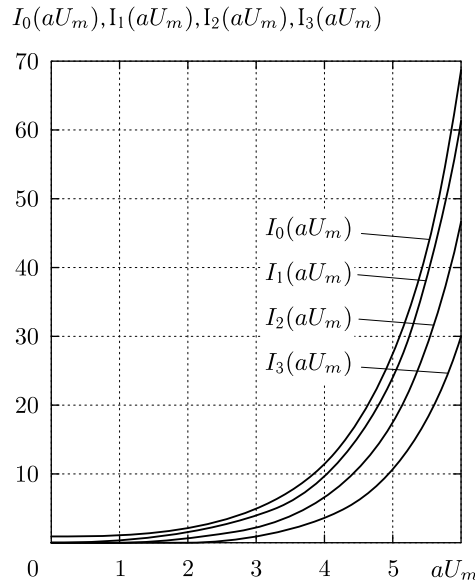


Рис. 8.7

Пример 8.3

К диоду с характеристикой $i = f(u)$, аппроксимированной показательной функцией, подведено напряжение:

$$u = U_0 + U_m \cos \omega_0 t = -0,5 + 0,4 \cos \omega_0 t \text{ В.}$$

Уравнение характеристики:

$$i = i_0 e^{au} = 0,5 e^{8u} \text{ мА.}$$

Найти нулевую составляющую и амплитуду первой гармоники тока.

Решение

На основании ф-лы (8.26)

$$I_0 = \frac{1}{2} F_0(U_0, U_m) = i_0 e^{aU_0} I_0(aU_m) = 0,5 \cdot e^{-8 \cdot 0,5} \cdot 5,75 = 0,052 \text{ мА,}$$

$$I_1 = F_1(U_0, U_m) = 2i_0 e^{aU_0} I_1(aU_m) = 2 \cdot 0,5 \cdot e^{-8 \cdot 0,5} \cdot 4,73 = 0,086 \text{ мА.}$$

Величины $I_0(aU_m) = I_0(3,2)$ и $I_1(aU_m) = I_1(3,2)$ могут быть определены с помощью рис. 8.7 или взяты из таблиц (см. например, Бронштейн И. Н. и Семендяев К. А. «Справочник по математике», ГИТТЛ, 1953 г., стр. 76–77 или Янке Е. и Эмде Ф. «Таблицы функций», ГИТТЛ, 1948 г., стр. 338–343).

§ 8.6. Одновременное воздействие на нелинейное сопротивление малого напряжения произвольной формы и большого синусоидального напряжения

В этом параграфе исследуется добавочный ток, протекающий через нелинейное сопротивление под действием некоторого малого напряжения при условии, что на это сопротивление одновременно действует еще большое синусоидальное напряжение.

Пусть под действием напряжения

$$u = U_0 + U_m \cos \alpha, \quad (8.27)$$

где

$$\alpha = \omega_0 t + \varphi,$$

через нелинейное сопротивление течет ток:

$$i = f(u) = \frac{1}{2} F_0(U_0, U_m) + F_1(U_0, U_m) \cos \alpha + F_2(U_0, U_m) \cos 2\alpha + \dots \quad (8.28)$$

Если на нелинейное сопротивление действует еще добавочное достаточно малое переменное напряжение Δu , то ток через сопротивление равен

$$i + \Delta i = f(u + \Delta u) \approx f(u) + f'(u) \cdot \Delta u, \quad (8.29)$$

где

$$f'(u) = \frac{\partial i}{\partial u},$$

откуда добавочный ток

$$\Delta i = f'(u) \Delta u = f'(U_0 + U_m \cos \alpha) \Delta u. \quad (8.30)$$

Отметим, что Δi линейно зависит от Δu , причем коэффициент пропорциональности $f'(u)$ меняется во времени. Таким образом, для добавочных тока и напряжения нелинейное сопротивление в этом случае может быть заменено *линейным, проводимость которого переменна и равна $f'(u)$* .

Схемы, содержащие такие линейные сопротивления, называются *линейными схемами с переменными параметрами. Для них справедлив принцип наложения*. Действительно, если на нелинейное сопротивление действует добавочное напряжение $\Delta u = \Delta u_1 + \Delta u_2$, то добавочный ток равен

$$\Delta i = f'(u)(\Delta u_1 + \Delta u_2) = \Delta i_1 + \Delta i_2,$$

где $\Delta i_1 = f'(u)\Delta u_1$ — ток от добавочного напряжения Δu_1 , $\Delta i_2 = f'(u)\Delta u_2$ — ток от добавочного напряжения Δu_2 .

Величина $f'(u) = f'(U_0 + U_m \cos \alpha)$ является четной периодической функцией α и может быть представлена рядом Фурье аналогично величине $f(U_0 + U_m \cos \alpha)$ (§ 8.2).

Таким образом,

$$f'(U_0 + U_m \cos \alpha) = \frac{1}{2} g_0 + g_1 \cos \alpha + g_2 \cos 2\alpha + \dots, \quad (8.31)$$

где

$$g_k = \frac{1}{\pi} \int_{-\pi}^{+\pi} f'(U_0 + U_m \cos \alpha) \cos k\alpha \, d\alpha, \quad (8.32)$$

$k = 0, 1, 2$ и т. д.

Если

$$\Delta u_1 = \delta U_m \cos(\omega_1 t + \varphi_1), \quad (8.33)$$

то в соответствии с (8.30) получим

$$\Delta i_1 = \frac{1}{2} g_0 \delta U_m \cos(\omega_1 t + \varphi_1) + g_1 \delta U_m \cos(\omega_1 t + \varphi_1) \cos \alpha + g_2 \delta U_m \cos(\omega_1 t + \varphi_1) \cos 2\alpha + \dots$$

Но так как

$$\begin{aligned} \cos(\omega_1 t + \varphi_1) \cos k\alpha &= \cos(\omega_1 t + \varphi_1) \cos(k\omega_0 t + k\varphi) = \\ &= \frac{1}{2} \cos[(\omega_1 + k\omega_0)t + \varphi_1 + k\varphi] + \\ &+ \frac{1}{2} \cos[(\omega_1 - k\omega_0)t + \varphi_1 - k\varphi], \end{aligned}$$

то

$$\Delta i_1 = \frac{1}{2} \delta U_m \sum_{k=-\infty}^{+\infty} g_{|k|} \cos[(\omega_1 + k\omega_0)t + \varphi_1 + k\varphi]. \quad (8.34)$$

Следовательно, при воздействии добавочного напряжения с частотой ω_1 добавочный ток имеет составляющие с частотами $\omega_1 + k\omega_0$, где $k = 0, +1, -1, +2, -2$ и т. д.

Если Δu содержит несколько синусоидальных составляющих с частотами ω_1, ω_2 и т. д., то в соответствии с принципом наложения добавочный ток состоит из нескольких составляющих вида (8.34) и может быть разложен на слагаемые с частотами $\omega_1 + k\omega_0, \omega_2 + k\omega_0$ и т. д., где k — целые положительные или отрицательные числа либо нули.

Найдем зависимость между коэффициентами g_k и F_k . Беря интеграл (8.46) по частям, получим:

$$\begin{aligned} F_k(U_0, U_m) &= \frac{1}{\pi} \int_{-\pi}^{+\pi} f(U_0 + U_m \cos \alpha) \cos k\alpha \, d\alpha = \\ &= \frac{1}{\pi} \left[f(U_0 + U_m \cos \alpha) \frac{\sin k\alpha}{k} \right]_{-\pi}^{+\pi} + \\ &+ \frac{1}{\pi} \int_{-\pi}^{+\pi} f'(U_0 + U_m \cos \alpha) \frac{\sin k\alpha}{k} U_m \sin \alpha \, d\alpha. \end{aligned}$$

Первое слагаемое при подстановке пределов дает нуль. Заменяв произведение синусов через разность косинусов во втором слагаемом, получим

$$\begin{aligned} F_k(U_0, U_m) &= \frac{1}{\pi} \int_{-\pi}^{+\pi} f'(U_0 + U_m \cos \alpha) \frac{U_m}{2k} [\cos(k-1)\alpha - \\ &- \cos(k+1)\alpha] \, d\alpha = \frac{U_m}{2k} (g_{k-1} - g_{k+1}), \quad (8.35) \end{aligned}$$

где

$$\begin{aligned} g_{k-1} &= \frac{1}{\pi} \int_{-\pi}^{+\pi} f'(U_0 + U_m \cos \alpha) \cos(k-1)\alpha \, d\alpha, \\ g_{k+1} &= \frac{1}{\pi} \int_{-\pi}^{+\pi} f'(U_0 + U_m \cos \alpha) \cos(k+1)\alpha \, d\alpha. \end{aligned}$$

Затем

$$\begin{aligned} \frac{\partial F_k(U_0, U_m)}{\partial U_m} &= \frac{1}{\pi} \int_{-\pi}^{+\pi} \frac{\partial}{\partial U_m} f(U_0 + U_m \cos \alpha) \cos k\alpha \, d\alpha = \\ &= \frac{1}{\pi} \int_{-\pi}^{+\pi} f'(U_0 + U_m \cos \alpha) \cos \alpha \cos k\alpha \, d\alpha = \\ &= \frac{1}{\pi} \int_{-\pi}^{+\pi} f'(U_0 + U_m \cos \alpha) \frac{1}{2} [\cos(k-1)\alpha + \cos(k+1)\alpha] \, d\alpha = \\ &= \frac{1}{2} (g_{k-1} + g_{k+1}). \quad (8.36) \end{aligned}$$

Из выражений (8.35) и (8.36) получим:

$$g_{k-1} = \frac{\partial F_k(U_0, U_m)}{\partial U_m} + k \frac{F_k(U_0, U_m)}{U_m} \quad (8.37)$$

и

$$g_{k+1} = \frac{\partial F_k(U_0, U_m)}{\partial U_m} - k \frac{F_k(U_0, U_m)}{U_m}. \quad (8.38)$$

Выше был рассмотрен случай, когда ток через нелинейное сопротивление зависит от одного напряжения u . В более общем случае ток может зависеть от напряжения на нелинейном сопротивлении и от величины управляющего параметра (например, от напряжения на аноде и на управляющей сетке). Для малых переменных напряжений в этом случае, как было показано в § 3.1, нелинейное сопротивление может быть заменено линейной схемой замещения (рис. 3.1 или 3.2).

Легко убедиться, просмотрев материал § 3.1, что ф-ла (3.3) и вытекающие из нее схемы замещения справедливы и для случая, когда Δu , Δv и Δi являются добавочными малыми колебаниями, а величины U_0 и V_0 — переменные. При этом параметры схем замещения S , r_i и μ ¹⁾, которые зависят от U_0 и V_0 , также будут переменными величинами, определяемыми ф-лами (3.4), (3.5) и (3.6).

Таким образом, если в схеме, содержащей нелинейные сопротивления, известны переменные напряжения и токи (основные) и надо найти добавочные токи от малых собственных колебаний или добавочных достаточно малых эдс, то для их отыскания нелинейные сопротивления могут быть заменены схемами замещения рис. 3.1 и 3.2. Параметры этих схем замещения линейны, т. е. не зависят от добавочных колебаний, и меняются во времени.

Сказанное справедливо и тогда, когда, помимо u и v , на нелинейное сопротивление действуют еще какие-либо другие известные переменные напряжения (приложенные, например, к дополнительным сеткам ламп). Необходимо только учитывать влияние этих напряжений на параметры схем замещения.

§ 8.7. Воздействие на нелинейное сопротивление нескольких больших синусоидальных колебаний

В этом параграфе кратко рассматривается случай воздействия на нелинейное сопротивление нескольких больших синусоидальных колебаний.

Будем считать, что

$$i = f(u) \quad (8.39)$$

¹⁾ В электронных лампах при напряжении на аноде, большем чем на других электродах, можно считать μ постоянным и не зависящим от U_0 и V_0 .

и

$$\begin{aligned}
 u &= U_0 + U_1 \cos \alpha_1 + U_2 \cos \alpha_2 + \dots + U_n \cos \alpha_n, & (8.40) \\
 \alpha_1 &= \omega_1 t + \varphi_1, \\
 \alpha_2 &= \omega_2 t + \varphi_2, \\
 &\dots\dots\dots \\
 \alpha_n &= \alpha_n t + \varphi_n.
 \end{aligned}$$

Входящие в эти выражения величины $U_0, U_1, U_2, \dots, U_n; \varphi_1, \varphi_2, \dots, \varphi_n$ могут быть как постоянными, так и переменными.

Будем считать $\alpha_1, \alpha_2, \dots, \alpha_n$ независимыми переменными. Обозначим

$$U'_0 = U_0 + U_2 \cos \alpha_2 + \dots + U_n \cos \alpha_n. \quad (8.41)$$

Тогда

$$u = U'_0 + U_1 \cos \alpha_1, \quad (8.42)$$

и по аналогии с § 8.2 можно записать

$$\begin{aligned}
 i &= \frac{1}{2} F_0(U'_0, U_1) + F_1(U'_0, U_1) \cos \alpha_1 + F_2(U'_0, U_1) \cos 2\alpha_1 + \\
 &+ F_3(U'_0, U_1) \cos 3\alpha_1 + \dots = \frac{1}{2} \sum_{k_1=-\infty}^{+\infty} F_{|k_1|}(U'_0, U_1) \cos k_1 \alpha_1, & (8.43)
 \end{aligned}$$

где

$$F_{|k_1|}(U'_0, U_1) = \frac{1}{\pi} \int_{-\pi}^{+\pi} f(U'_0 + U_1 \cos \alpha_1) \cos k_1 \alpha_1 d\alpha_1.$$

В сумме (8.43) каждый член повторяется дважды за исключением нулевой составляющей, для которой $k_1 = 0$. Например, члены $k_1 = 3$ и $k_1 = -3$ равны между собой.

Положим

$$U'_0 = U''_0 + U_2 \cos \alpha_2, \quad (8.44)$$

где

$$U''_0 = U_0 + U_3 \cos \alpha_3 + \dots + U_n \cos \alpha_n. \quad (8.45)$$

Тогда

$$F_{|k_1|}(U'_0, U_1) = F_{|k_1|}(U''_0 + U_2 \cos \alpha_2, U_1) \quad (8.46)$$

будет периодической функцией α_2 . Действуя методами § 8.2, эту величину по аналогии с (8.43) можно записать так:

$$F_{|k_1|}(U'_0, U_1) = \frac{1}{2} \sum_{k_2=-\infty}^{+\infty} F_{|k_1||k_2|}(U''_0, U_1, U_2) \cos k_2 \alpha_2, \quad (8.47)$$

где

$$\begin{aligned} F_{|k_1||k_2|}(U_0'', U_1, U_2) &= \frac{1}{\pi} \int_{-\pi}^{+\pi} F_{|k_1|}(U_0'' + U_2 \cos \alpha_2, U_1) \cos k_2 \alpha_2 d\alpha_2 = \\ &= \frac{1}{\pi^2} \int_{-\pi}^{+\pi} \int_{-\pi}^{+\pi} f(U_0'' + U_1 \cos \alpha_1 + U_2 \cos \alpha_2) \cos k_1 \alpha_2 \cos k_2 \alpha_2 d\alpha_1 d\alpha_2. \end{aligned} \quad (8.48)$$

При вычислении этого интеграла следует считать величины U_0'' , U_1 , U_2 постоянными.

Подставляя (8.47) в (8.43), получим:

$$\begin{aligned} i &= \frac{1}{4} \sum_{k_1=-\infty}^{+\infty} \sum_{k_2=-\infty}^{+\infty} F_{|k_1||k_2|}(U_0'', U_1, U_2) \cos k_1 \alpha_1 \cos k_2 \alpha_2 = \\ &= \frac{1}{8} \sum_{k_1=-\infty}^{+\infty} \sum_{k_2=-\infty}^{+\infty} F_{|k_1||k_2|}(U_0'', U_1, U_2) \cos(k_1 \alpha_1 + k_2 \alpha_2) + \\ &+ \frac{1}{8} \sum_{k_1=-\infty}^{+\infty} \sum_{k_1=-\infty}^{+\infty} F_{|k_1||k_2|}(U_0'', U_1, U_2) \cos(k_1 \alpha_1 - k_2 \alpha_2). \end{aligned} \quad (8.49)$$

Второй член этого выражения равен первому, поскольку k_2 в обеих суммах принимает как положительные, так и отрицательные значения. Поэтому

$$j = \frac{1}{4} \sum_{k_1=-\infty}^{+\infty} \sum_{k_2=-\infty}^{+\infty} F_{|k_1||k_2|}(U_0'', U_1, U_2) \cos(k_1 \alpha_1 + k_2 \alpha_2).$$

В этой сумме каждый член также повторяется дважды, за исключением нулевой составляющей, для которой $k_1 = k_2 = 0$. Например, член с $k_1 = 3$ и $k_2 = -1$ равен члену с $k_1 = -3$ и $k_2 = 1$.

Полагая далее

$$U_0'' = U_0''' + U_3 \cos \alpha_3, \quad (8.51)$$

и повторяя рассуждения, в конце концов придем к следующему выражению:

$$\begin{aligned} i &= \frac{1}{2^n} \sum_{k_1=-\infty}^{+\infty} \sum_{k_2=-\infty}^{+\infty} \dots \sum_{k_n=-\infty}^{+\infty} F_{|k_1||k_2|\dots|k_n|}(U_0, U_1, U_2, \dots, U_n) \times \\ &\quad \times \cos(k_1 \alpha_1 + k_2 \alpha_2 + \dots + k_n \alpha_n), \end{aligned} \quad (8.52)$$

где

$$F_{|k_1||k_2|\dots|k_n|}(U_0, U_1, U_2, \dots, U_n) = \\ = \frac{1}{\pi^n} \int_{-\pi}^{+\pi} \int_{-\pi}^{+\pi} \dots \int_{-\pi}^{+\pi} f(U_0 + U_1 \cos \alpha_1 + U_2 \cos \alpha_2 + \dots + U_n \cos \alpha_n) \times \\ \times \cos k_1 \alpha_1 \cos k_2 \alpha_2 \dots \cos k_n \alpha_n d\alpha_1 d\alpha_2 \dots d\alpha_n. \quad (8.53)$$

При вычислении этого интеграла надо полагать величины U_0, U_1, \dots, U_n постоянными.

Подставляя вместо α их значения, получим следующее выражение для фазы (т. е. аргумента) слагаемой тока:

$$k_1 \alpha_1 + k_2 \alpha_2 + \dots + k_n \alpha_n = (k_1 \omega_1 + k_2 \omega_2 + \dots + k_n \omega_n)t + \\ + k_1 \varphi_1 + k_2 \varphi_2 + \dots + k_n \varphi_n. \quad (8.54)$$

Частота этого слагаемого будет:

$$k_1 \frac{d\alpha_1}{dt} + k_2 \frac{d\alpha_2}{dt} + \dots + k_n \frac{d\alpha_n}{dt} = \\ = k_1 \left(\omega_1 + \frac{d\varphi_1}{dt} \right) + k_2 \left(\omega_2 + \frac{d\varphi_2}{dt} \right) + \dots + k_n \left(\omega_n + \frac{d\varphi_n}{dt} \right), \quad (8.55)$$

где $\frac{d\alpha_1}{dt} = \omega_1 + \frac{d\varphi_1}{dt}$, $\frac{d\alpha_2}{dt} = \omega_2 + \frac{d\varphi_2}{dt}$, \dots , $\frac{d\alpha_n}{dt} = \omega_n + \frac{d\varphi_n}{dt}$ — частоты первого, второго, n -го колебания напряжения. Эта частота называется *комбинационной частотой N -го порядка*, причем

$$N = |k_1| + |k_2| + \dots + |k_n|. \quad (8.56)$$

По этой терминологии m -я гармоника также называется комбинационной частотой m -го порядка.

Как видно из (8.54), сдвиги фаз составляющих тока образуются так же, как и частоты.

Амплитуды колебаний комбинационных частот в общем виде определяются ф-лой (8.53). Для конкретного расчета надо аппроксимировать характеристику нелинейного сопротивления какой-либо функцией.

При аппроксимации ломаной прямой уже при $n = 2$ интеграл (8.53) сводится к так называемому эллиптическому интегралу, который не выражается через элементарные функции. По этой причине в данном случае такую аппроксимацию используют редко.

При аппроксимации степенным рядом общее выражение амплитуд получается также довольно сложным. Поэтому в табл. 8.1 дано для справок значение этих амплитуд¹⁾ от различных членов степенного

¹⁾ Амплитуды в табл. 8.1 обозначены сокращенно. Так, например, вместо $\frac{1}{8} F_{100}(U_0, U_1, U_2, U_3)$ обозначено $\frac{1}{8} F_{100}$.

ряда для $n = 3$. При $n = 2$ нужно положить $U_3 = 0$ и считать $\frac{1}{4} F_{|k_1||k_2|} = \frac{1}{8} F_{|k_1||k_2||k_3|}$.

Таблица 8.1

a_0	$\frac{1}{8} F_{000} = a_0$
$a_1(u - U_0)$	$\frac{1}{8} F_{100} = \frac{1}{2} a_1 U_1; \quad \frac{1}{8} F_{010} = \frac{1}{2} a_1 U_2;$ $\frac{1}{8} F_{001} = \frac{1}{2} a_1 U_3$
$a_2(u - U_0)^2$	$\frac{1}{8} F_{000} = \frac{1}{2} a_2 (U_1^2 + U_2^2 + U_3^2)$ $\frac{1}{8} F_{200} = \frac{1}{4} a_2 U_1^2; \quad \frac{1}{8} F_{020} = \frac{1}{4} a_2 U_2^2; \quad \frac{1}{8} F_{002} = \frac{1}{4} a_2 U_3^2;$ $\frac{1}{8} F_{110} = \frac{1}{2} a_2 U_1 U_2; \quad \frac{1}{8} F_{101} = \frac{1}{2} a_2 U_1 U_3;$ $\frac{1}{8} F_{011} = \frac{1}{2} a_2 U_2 U_3$
$a_3(u - U_0)^3$	$\frac{1}{8} F_{100} = \frac{3}{8} a_3 U_1 (U_1^2 + 2U_2^2 + 2U_3^2)$ $\frac{1}{8} F_{010} = \frac{3}{8} a_3 U_3 (U_2^2 + 2U_3^2 + 2U_1^2)$ $\frac{1}{8} F_{001} = \frac{3}{8} a_3 U_3 (U_3^2 + 2U_1^2 + 2U_2^2)$ $\frac{1}{8} F_{210} = \frac{3}{8} a_3 U_1^2 U_2; \quad \frac{1}{8} F_{201} = \frac{3}{8} a_3 U_1^2 U_3; \quad \frac{1}{8} F_{021} = \frac{3}{8} a_3 U_2^2 U_3$ $\frac{1}{8} F_{120} = \frac{3}{8} a_3 U_1 U_2^2; \quad \frac{1}{8} F_{102} = \frac{3}{8} a_3 U_1 U_3^2; \quad \frac{1}{8} F_{012} = \frac{3}{8} a_3 U_2 U_3^2$ $\frac{1}{8} F_{111} = \frac{3}{4} a_3 U_1 U_2 U_3$ $\frac{1}{8} F_{300} = \frac{1}{8} a_3 U_1^3; \quad \frac{1}{8} F_{030} = \frac{1}{8} a_3 U_2^3; \quad \frac{1}{8} F_{003} = \frac{1}{8} a_3 U_3^3$

Не указанные в таблице амплитуды равны нулю [например, амплитуда $1/8 F_{100}$, соответствующая частоте $\omega_1 + \frac{d\varphi_1}{dt}$ от члена $a_2(u - U_0)^2$].

Нужно помнить, что одна и та же амплитуда будет у нескольких частот, так, например, амплитуда $1/8 F_{210}$ будет у комбинационных частот:

- 1) $+2\omega_1 + \omega_2$,
- 2) $+2\omega_1 - \omega_2$,
- 3) $-2\omega_1 + \omega_2$,
- 4) $-2\omega_1 - \omega_2$.

Здесь φ_1 и φ_2 приняты постоянными. Следует еще отметить, что колебания с первой и четвертой из этих частот, а также со второй и третьей одинаковы.

Если продолжить табл. 8.1, то можно установить, что от члена со степенью m образуются составляющие тока со всеми возможными комбинационными частотами порядков m , $m - 2$, $m - 4$ и т. д. до 1 или 0.

Таким образом, от членов четных степеней получаются комбинационные частоты четных порядков и в том числе нулевая составляющая, а от членов нечетных степеней — комбинационные частоты нечетных порядков.

При аппроксимации характеристики показательной функцией (8.24) интегрирование приводит к следующему выражению:

$$\begin{aligned} & \frac{1}{2^n} F_{|k_1||k_2|\dots|k_n|}(U_0, U_1, U_2, \dots, U_n) = \\ & = i_0 e^{aU_0} I_{|k_1|}(aU_1) \cdot I_{|k_2|}(aU_2) \dots I_{|k_n|}(aU_n). \end{aligned} \quad (8.57)$$

Пример 8.4

Характеристика нелинейного сопротивления выражается четырьмя первыми членами ряда (8.12). Напряжение, действующее на нелинейное сопротивление, равно

$$u = U_0 + U_1 \cos(\omega_1 t + \varphi_1) + U_2 \cos(\omega_2 t + \varphi_2) + U_3 \cos(\omega_3 t + \varphi_3).$$

Найти колебание с частотой $\omega_1 + \frac{d\varphi_1}{dt}$, а также колебание с частотой $2\left(\omega_2 + \frac{d\varphi_2}{dt}\right)$.

Решение

1. Колебание с частотой $\omega_1 + \frac{d\varphi_1}{dt}$ соответствует комбинациям $k_1 = 1$, $k_2 = k_3 = 0$ и $k_1 = -1$, $k_2 = k_3 = 0$. Из табл. 8.1 видно, что оно имеет составляющие, не равные нулю, от членов первой и третьей степени, и выражается так:

$$\left[2 \cdot \frac{1}{2} a_1 U_1 + 2 \cdot \frac{3}{8} a_3 U_1 (U_1^2 + 2U - 2^2 + 2U_3^2) \right] \cos(\omega_1 t + \varphi_1).$$

2. Колебание с частотой $2\left(\omega_2 + \frac{d\varphi_2}{dt}\right)$ соответствует комбинациям $k_1 = = k_3 = 0$, $k_2 = 2$ и $k_1 = k_3 = 0$, $k_2 = -2$. Из табл. 8.1 видно, что это колебание определяется только квадратичным членом и имеет следующий вид:

$$2 \cdot \frac{1}{4} a_2 U_2^2 \cos(2\omega_2 t + 2\varphi_2).$$